

復習

$$\left(\hbar^2 \frac{d^2}{dx^2} - Q(x) \right) \psi = 0$$

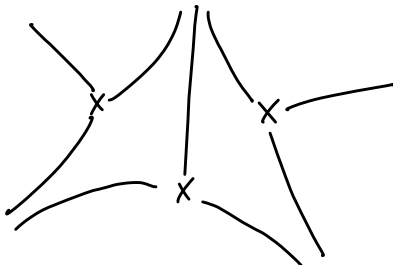
Stokes
クーラフ $\theta \in \mathbb{R}$
方向

$$\psi = \exp \left(\int^x P dx \right), \quad P = \sum_{n=0}^{\infty} \hbar^{n-1} P_n(x)$$

$$\text{WKB 解 } \psi_{\pm}(x, \hbar) = \frac{1}{\sqrt{P_{\text{odd}}(x, \hbar)}} \exp \left(\pm \int^x P_{\text{odd}}(x', \hbar) dx' \right)$$

例 $Q(x) = x^3 + ax + b \quad (a, b, c : \text{generic})$

(x平面)



$$\text{Im} \left(e^{-i\theta} \int_v^x \sqrt{Q} dx \right) = 0$$

Borel 総和可能性について

$$T(x, \hbar) := \sum_{n \geq 2} \hbar^n P_n(x) = \hbar \left(P(x, \hbar) - \frac{1}{\hbar} P_0(x) - P_1(x) \right)$$

$$\frac{\partial T}{\partial x} - 2P_0(x) \frac{T}{\hbar} = T^2 + \dots \leftarrow P_0, P_1 \text{ を書く。}$$

↓ Borel 変換 (項別の逆 Laplace 変換) $\hbar^{-1} \leftrightarrow y$

$$\frac{\partial T_B}{\partial x} - 2 \underbrace{P_0(x)}_{\sqrt{Q(x)}} \frac{\partial T_B}{\partial y} = T_B * T_B + \dots$$

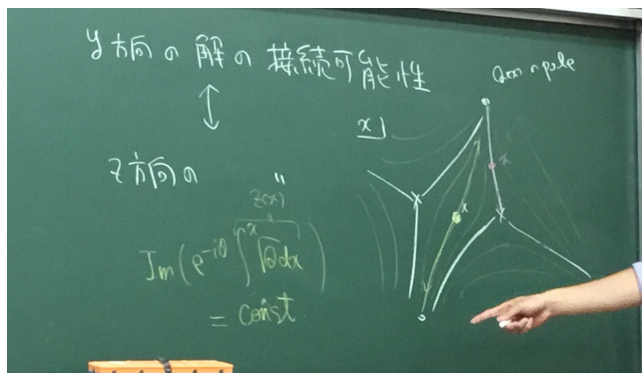
\downarrow 座標変換 $z(x) := \int^x \sqrt{Q(x')} dx'$

$$\frac{\partial T_B}{\partial z} - 2 \frac{\partial T_B}{\partial y} = \frac{1}{2\sqrt{Q_0}} \underbrace{(T_B * T_B + \dots)}_{\text{低階項}}$$

$$(f * g)(y) := \int_0^y f(y') g(y-y') dy'$$

convolution product

y 方向の解の接続可能性
 \uparrow
 z 方向の解の接続可能性



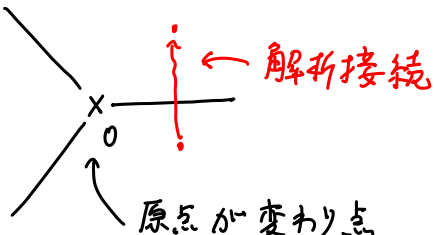
- “変わり点で正規化”した WKB 解の Borel 和が Stokes 曲線上で“みたす”接続公式を記述する。

3. Voros の接続公式

まず Airy 方程式の場合を考える。

$$\left(\hbar^2 \frac{d^2}{dx^2} - x\right) \psi = 0, \quad Q(x) = \sqrt{x}$$

Stokes グラフ $\theta = 0$

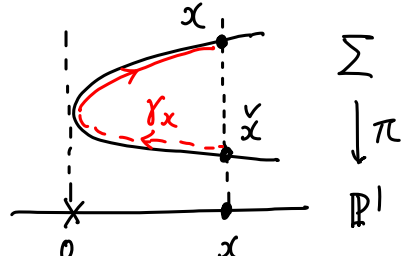
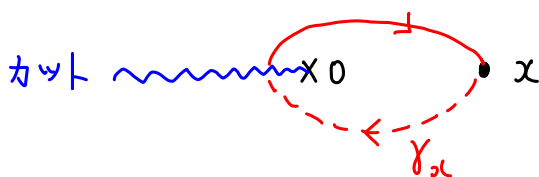


変わり点 ($x=0$) で正規化された WKB 解を考える。

$$\psi_{\pm} = \frac{1}{\sqrt{P_{\text{odd}}(x, \hbar)}} \exp\left(\pm \int_0^x P_{\text{odd}}(x', \hbar) dx'\right).$$

ただし, P_{odd} の各係数は $x=0$ に特異性を持つので, \int_0^x を次のように定義する。

$$\int_0^x P_{\text{odd}}(x', \hbar) dx' := \frac{1}{2} \int_{\gamma_x} P_{\text{odd}}(x', \hbar) dx'$$



$$P_{\text{odd}}(x, \hbar) = \frac{1}{2} (P_+ - P_-) \quad \text{by def. 2のπ} \quad P_{\text{odd}}(\tilde{x}, \hbar) = -P_{\text{odd}}(x, \hbar),$$

$$\text{したがって, } \frac{d}{dx} \int_{\gamma_x} P_{\text{odd}}(x', \hbar) dx' = P_{\text{odd}}(x, \hbar) - P_{\text{odd}}(\tilde{x}, \hbar) = 2P_{\text{odd}}(x, \hbar).$$

$$\left(\boxed{\text{例}} \quad \int_0^x x^{-\frac{3}{2}} dx = \frac{1}{2} \left[(-2)x^{-\frac{1}{2}} \right]_x^{\tilde{x}} = (-2)x^{-\frac{1}{2}} \right)$$

$$\psi_{\pm}(x, \hbar) = \exp\left(\pm \int_0^x \sqrt{x'} dx'\right) \cdot \sum_{n=0}^{\infty} \hbar^{n+\frac{1}{2}} \psi_n^{(\pm)}(x) \quad \leftarrow \text{形はパンッと決まる。}$$

これの Borel 変換

$$\psi_{\pm, B}(x, y) = \sum_{n=0}^{\infty} \frac{\psi_n^{(\pm)}(x)}{\Gamma(n+\frac{1}{2})} (y \pm a(x)), \quad a(x) = \int_0^x \sqrt{x'} dx' = \frac{2}{3} x^{\frac{3}{2}}$$

は超幾何函数で書く。

つづき。

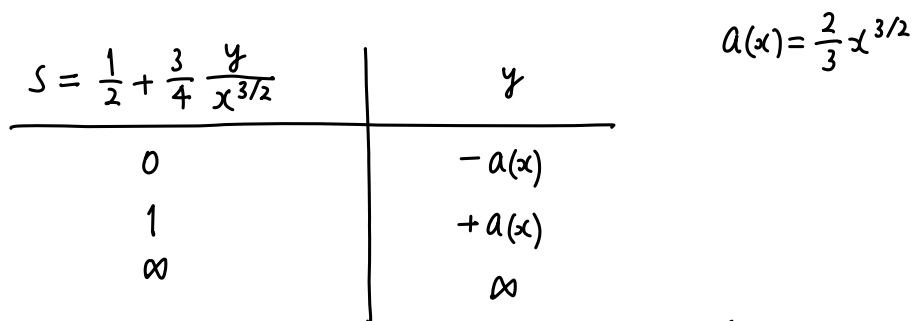
$$\text{超幾何函数 } {}_2F_1(\alpha, \beta, \gamma; z) = \sum_{n=0}^{\infty} \frac{(\alpha)_n (\beta)_n}{(\gamma)_n n!} z^n, \quad (\alpha)_n = \begin{cases} 1 & (n=0) \\ \alpha(\alpha+1)\cdots(\alpha+n-1) & (n \geq 1) \end{cases}$$

を使うと、上の $\Psi_{+,B}(x, y)$ は次のように書けた（全然非自明）：

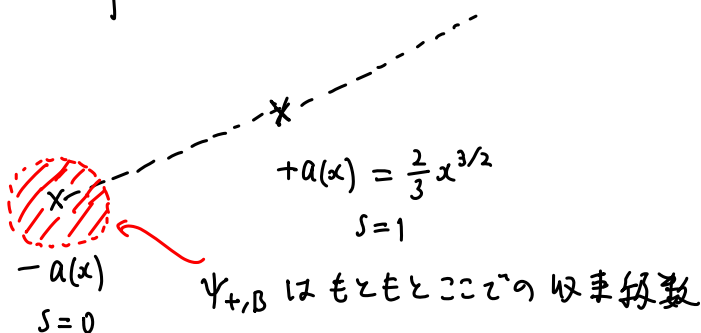
$$\begin{cases} \Psi_{+,B}(x, y) = \frac{\sqrt{3}}{2\sqrt{\pi}} \frac{1}{x} s^{-\frac{1}{2}} {}_2F_1\left(\frac{1}{6}, \frac{5}{6}, \frac{1}{2}; s\right), & s := \frac{1}{2} + \frac{3}{4} \frac{y}{x^{3/2}} \\ \Psi_{-,B}(x, y) = \frac{\sqrt{3}}{2\sqrt{\pi}} \frac{1}{x} (s-1)^{-\frac{1}{2}} {}_2F_1\left(\frac{1}{6}, \frac{5}{6}, \frac{1}{2}; 1-s\right) \end{cases}$$

レポート問題 4 この等式を示せ. □

$$Ai(z) = \sum \frac{\Gamma(\cdot)\Gamma(\cdot)}{\Gamma(\cdot)} z^{-\frac{3}{2}n} \xrightarrow{\text{Borel 変換}} \sum \frac{\Gamma(\cdot)\Gamma(\cdot)}{\Gamma(\cdot)\Gamma'(\cdot)} z^{-\frac{3}{2}n} \leftarrow \text{超幾何}$$

歴史 かんばる計算した結果を佐藤先生が見つけていた ${}_2F_1\left(\frac{1}{6}, \frac{5}{6}, \frac{1}{2}; \cdot\right)$ のとき当てた。 $\Psi_{+,B}$ に注目する。事実 ${}_2F_1(\alpha, \beta, \gamma; s)$ は $s = 0, 1, \infty$ における確定特異点をもつ。
(特に $s \rightarrow \infty$ で高々多項式増大)

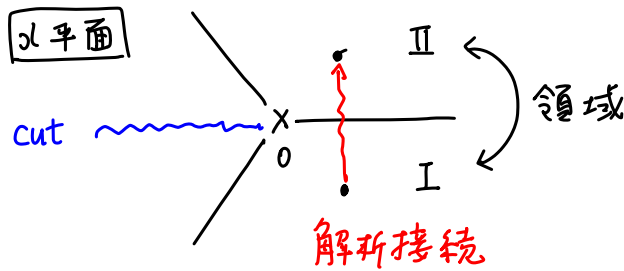
y 平面

 $\Psi_{+,B}$ はもともとここでの収束級数

- $x=0$ (変わり点)において 2つの特異点 $\pm a(x)$ は一致する。
- $x \neq 0$ を固定したとき, $\arg(a(x) - (-a(x))) = \arg a(x)$ の方向には解析接続できな。
- $\operatorname{Im}(e^{-i\theta} a(x)) \neq 0$ となるような方向には解析接続可能。 $(\Psi_+ は \text{Borel 総和可能})$

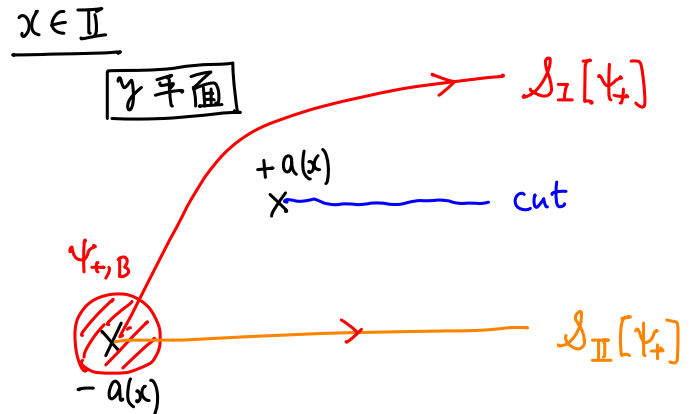
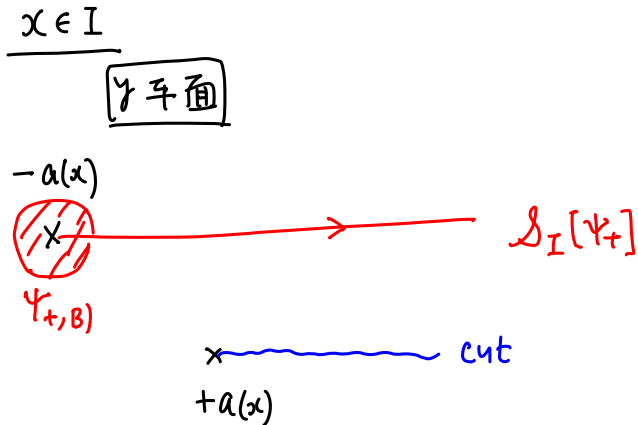
 $\int_0^x \sqrt{x'} dx'$ の Stokes グラフの条件と consistent.

$\theta = 0$ のときの Airy eq. の Stokes 線



$\mathcal{S}_J[\psi_{\pm}] := \begin{cases} \text{(領域 } J \text{ における)} \\ \text{(} \psi_{\pm} \text{ の Borel sum)} \\ (J = I, II) \end{cases}$

$\theta = 0$ 方向の



これらを比較すると

$$\mathcal{S}_I[\psi_+] - \mathcal{S}_{II}[\psi_+] = \int_{-a(x)}^{+a(x)} e^{-\frac{y}{h}} \psi_{+,B}(x, y) dy$$

実は

$$\int_{+a(x)}^{-a(x)} e^{-\frac{y}{h}} \psi_{+,B}(x, y) dy = i \int_{+a(x)}^{\infty} e^{-\frac{y}{h}} \psi_{-,B}(x, y) dy = i \mathcal{S}_{II}[\psi_-].$$

$s=0 \approx s=1$ の角解の間の
関係式を用いた (非自明)

超幾何の接続公式

ゆえに、

$$\mathcal{S}_I[\psi_+] = \mathcal{S}_{II}[\psi_+] + i \mathcal{S}_{II}[\psi_-].$$

さらに上の議論と同様にして ($\pm a(x)$ の立場が入れかえる), より簡単な

$$\mathcal{S}_I[\psi_-] = \mathcal{S}_{II}[\psi_-]$$

となることもわかる。

この公式を Airy の場合の Voros の接続公式と呼ぶ。

注

$$\left(\frac{d^2}{dx^2} - \frac{\Omega(x)}{h^2} \right) \psi = 0$$

↓

$$\left(\frac{\partial^2}{\partial x^2} - \Omega(x) \frac{\partial^2}{\partial y^2} \right) \psi_B = 0$$

unipotent matrix X が“出で来る”ことは詳しく計算しなくてもわかる。

(2-5)

$$\begin{array}{c} x \in \text{II} \\ \xrightarrow{\quad +a(\mu)X \quad} \\ \xleftarrow{\quad -a(x) \quad} \end{array} = \begin{array}{c} +a(x) \xrightarrow{\quad X \quad} \\ -a(x) \xrightarrow{\theta} \mathcal{S}_{\text{II}}[\psi_+] \end{array}$$

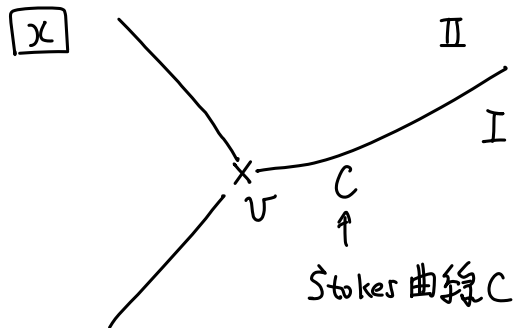
以上の計算ではアベラを計算できる Airy eq. の特異性を使つた。

一般の場合の公式も得られる

一般の場合

以下、 $\theta=0$ として考える。

仮定 $\left\{ \begin{array}{l} v$ を単純な変わり点とする。 $Q(x)$ の 1 位の零点。
 v から生じる全ての Stokes 曲線は Stokes セグメントでないとする。
 $(\text{正確には } Q(x)dx^2 \sim)$



$$\Psi_{\pm} = \frac{1}{\sqrt{P_{\text{odd}}}} \exp\left(\pm \int_v^x P_{\text{odd}} dx\right)$$

変わり点 v で Airy の場合と同様の方法で
正规化された WKB 解。

$\bar{\Psi}_{\pm}^J$: 領域 J での Ψ_{\pm} の Borel 和。

定理 (Voros 1983, Aoki-Kawai-Takei 1991)

- C 上で $\operatorname{Re} \int_v^x \sqrt{Q} dx > 0$ のとき,

$$[\bar{\Psi}_+^I, \bar{\Psi}_-^I] = [\bar{\Psi}_+^{II}, \bar{\Psi}_-^{II}] \begin{bmatrix} 1 & 0 \\ i & 1 \end{bmatrix},$$

- C 上で $\operatorname{Re} \int_v^x \sqrt{Q} dx < 0$ のとき

$$[\bar{\Psi}_+^I, \bar{\Psi}_-^I] = [\bar{\Psi}_+^{II}, \bar{\Psi}_-^{II}] = \begin{bmatrix} 1 & i \\ 0 & 1 \end{bmatrix}.$$

証明は (Kawai-Takei Ch.2)

y

2-6

$$\begin{array}{c} \Psi_{+,B} \\ \times \\ + \int_v^x \sqrt{Q} dx \end{array} \quad \leftarrow (>0 \text{ の回})$$

$\Re \int_v^x \sqrt{Q} dx \geq 0$ は
2つの特異点のどうかを考慮する本と意味してある

$$\begin{array}{c} \Psi_{-,B} \\ \times \\ - \int_v^x \sqrt{Q} dx \end{array}$$

$$\begin{array}{c} \Psi_{-,B} \\ \times \\ + \int_v^x \sqrt{Q} dx \end{array} \quad \downarrow \quad \leftarrow (<0 \text{ の回})$$

$$\begin{array}{c} \Psi_{+,B} \\ \times \\ - \int_v^x \sqrt{Q} dx \end{array}$$

定理 (Voros 1983, Aoki-Kawai-Takei 1991)

- C 上で $\Re \int_v^x \sqrt{Q} dx > 0$ のとき,
- C 上で $\Re \int_v^x \sqrt{Q} dx < 0$ のとき

$$[\bar{\Psi}_+^I, \bar{\Psi}_-^I] = [\bar{\Psi}_+^{II}, \bar{\Psi}_-^{II}] \begin{bmatrix} 1 & 0 \\ i & 1 \end{bmatrix}, \quad [\bar{\Psi}_+^I, \bar{\Psi}_-^I] = [\bar{\Psi}_+^{II}, \bar{\Psi}_-^{II}] = \begin{bmatrix} 1 & i \\ 0 & 1 \end{bmatrix}.$$

証明は (Kawai-Takei Ch.2)

"WKB 解析的変換論"

この等式は変わりとて正規化しないと成立しない。

一般の方程式の WKB 解を Airy 方程式の WKB 解に形式的に変換する。

$$\Psi_{\pm}(x, \hbar) = \left(\frac{\partial X}{\partial x}(x, \hbar) \right)^{-\frac{1}{2}} \psi_{\pm}^{\text{Airy}}(X(x, \hbar), \hbar), \quad X(x, \hbar) = \sum_{n=0}^{\infty} X_n(x) \hbar^n, \quad \frac{dX_0}{dx} \neq 0.$$

という形式的変換を作れる (そむすかく(左))

これは Borel 変換アリ。

$x = v \approx \infty$ 正則

Borel 総和可能な発散級数

$$\Psi_{\pm,B}(x, y) = \int_{\mp a(x)}^y K(x, y-y') \psi_{\pm,B}^{\text{Airy}}(X_0(x), y') dy' \quad \text{の形にアリ。}$$

カーネル K の性質がよいので 左辺の y 平面での特異性が Airy の場合と

同じになることがわかる。

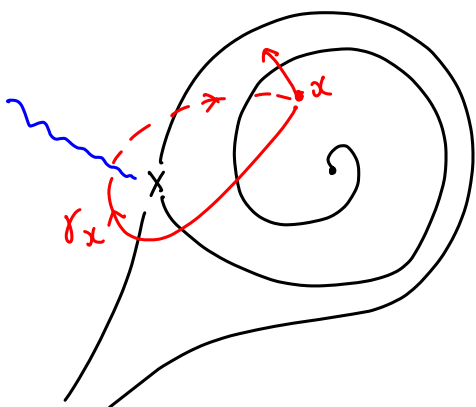
$$\text{Borel 変換 } \frac{1}{\hbar} \mapsto \frac{\partial}{\partial y}, \quad \hbar \mapsto \int_y^{\infty} dy'$$

注

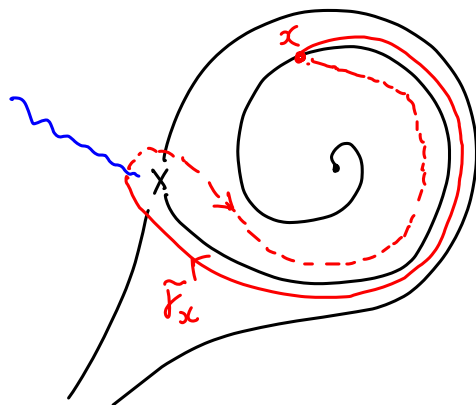
x が Stokes 曲線を越えるときに、

2-7

その Stokes 曲線に沿って正規化された WKB 解としての
Voros の公式はなり立つ、



$\Psi_{\pm} : \gamma_x$ 沿って正規化
 \Rightarrow Voros の公式は成立~~しない~~



$\tilde{\Psi}_{\pm} : \tilde{\gamma}_x$ 沿って正規化
 \Rightarrow Voros の公式が成立する。

$$\int_{\gamma_x} P_{odd} dx = \int_{\tilde{\gamma}_x} P_{odd} dx + 2 \underbrace{\oint_{\gamma_x} P_{odd} dx}_{=r} \quad \text{正しくは}$$

$$\Psi_{\pm} = e^{\pm r} \tilde{\Psi}_{\pm} \quad (\text{形式細数と})$$

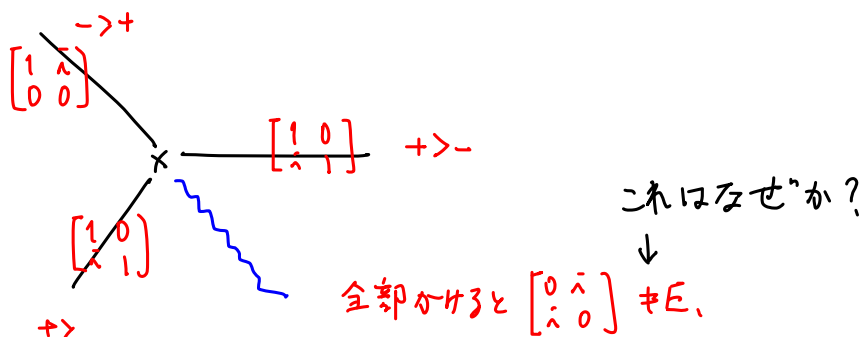
$$[\bar{\Psi}_+^I, \bar{\Psi}_-^I] = [\bar{\Psi}_+^{II}, \bar{\Psi}_-^{II}] S, \quad S = \begin{cases} \begin{bmatrix} 1 & ie^{2r} \\ 0 & 1 \end{bmatrix} \\ \begin{bmatrix} 1 & 0 \\ ie^{-2r} & 1 \end{bmatrix} \end{cases} \quad \begin{matrix} \delta[e^{2r}] \\ \delta[e^{-2r}] \end{matrix}$$

レポート問題5

Borel 総和法で本当に x 平面での解ができるということ。

変わり点で正规化した WKB 解の Borel 和は
その変わり点の近傍で 1 倍であることを示せ。
(つまり, Borel 和は x 平面上の函数である。)

Airy の場合にチェックすればよい。
しかし、直ちにやると失敗する

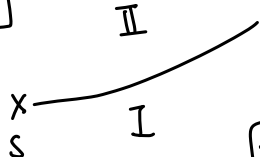


□

单纯極における接続公式 (Koike 2000)

X

II

 $\Psi_{\pm} : x = s \text{ 正規化}$ 

仮定

$$\left\{ \begin{array}{l} Q(x, \hbar) = Q_0(x) + \hbar^2 Q_2(x) \\ x = s \text{ 極} \\ x = s \text{ 単純極} \end{array} \right. \quad \begin{array}{l} \rightarrow b \text{ を決める} \mapsto a \\ \uparrow \\ \uparrow \end{array}$$

Tatsuya (神戸大)

定理 (Koike 2000, Publ. RIMS, simple pole)

$$[\bar{\Psi}_{+}^I, \bar{\Psi}_{-}^I] = [\bar{\Psi}_{+}^{II}, \bar{\Psi}_{-}^{II}] S,$$

$$S = \begin{bmatrix} 1 & i(a+a^{-1}) \\ 0 & 1 \end{bmatrix} \text{ or } \begin{bmatrix} 1 & 0 \\ i(a+a^{-1}) & 1 \end{bmatrix},$$

$$\begin{cases} a = \exp(\pi i \sqrt{1+4b}) \\ b = \lim_{x \rightarrow s} (x-s)^2 Q_2(x) \end{cases}$$

注 $Q(x, \hbar) = Q_0(x) + \hbar Q_1(x) + \hbar^2 Q_2(x) + \hbar^3 Q_3(x) + \dots$ の一般の場合もできるが、
めんどうな条件をつければ“Borel 総和可能”ができる。

大域問題への応用 ($\gamma = \gamma_0 + \theta = 0$ とし $\gamma < 0$)

仮定

- $Q(x)dx^2$ の零点は全て 1 位,
- Stokes セグメントがない,

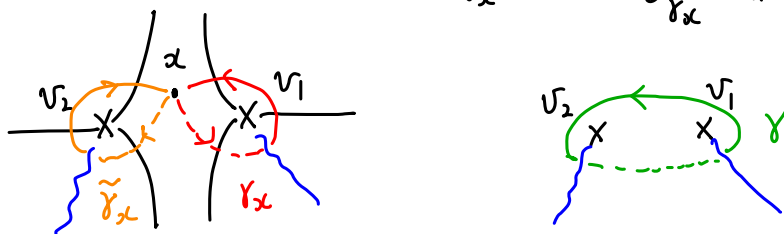
WKB 解の Borel 和の解析接続は次の 2 パターンのくりかえして書ける.

① Voros/Koike の公式

$$S = \begin{bmatrix} 1 & \tilde{\gamma} \\ 0 & 1 \end{bmatrix}, \begin{bmatrix} 1 & 0 \\ \tilde{\gamma} & 1 \end{bmatrix}$$

② 正規化のくりかえ

$$\int_{\gamma_x} P_{odd} dx = \int_{\tilde{\gamma}_x} P_{odd} dx + \oint_{\gamma} P_{odd} dx$$



つまり, $\Psi_{\pm} = \exp\left(\pm \frac{1}{2} \oint_{\gamma} P_{odd} dx\right) \tilde{\Psi}_{\pm}$.

これが大事.

定義 $\gamma \in H_1(\Sigma, \mathbb{Z})$ に対して,

$$V_{\gamma}(\hbar) := \oint_{\gamma} P_{odd}(x, \hbar) dx = \sum_{k=0}^{\infty} \hbar^{2k-1} \oint_{\gamma} P_{2k}(x) dx \in \frac{1}{\hbar} \mathbb{C}[[\hbar]].$$

を γ に対する Voros 係数といふ.

□

定義 $\beta \in H_1(\Sigma, P; \mathbb{Z})$ に対して,
 $\overbrace{Q(x)dx^2 \text{ の } 2 \text{ 位以上の poles の集合}}$

$$W_{\beta}(\hbar) := \int_{\beta} \left(P_{odd}(x, \hbar) - \frac{1}{\hbar} \sqrt{Q(x)} \right) dx$$

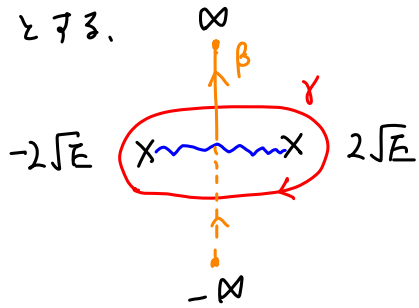
を β に対する Voros 係数といふ.

□

例 (Weber 方程式)

$$\left(\hbar^2 \frac{d^2}{dx^2} - \left(\frac{x^2}{4} - E \right) \right) \psi = 0.$$

$E \neq 0$ のとき



定理 (Voros 83, Takei 07)

$$V_\beta(\hbar) = \frac{2\pi i E}{\hbar}$$

$$W_\beta(\hbar) = \sum_{n=1}^{\infty} \frac{(2^{1-2n}-1) B_{2n}}{2n(2n-1)} \frac{\hbar^{2n-1}}{E^{2n-1}}$$

$$2P_0 P_{n+1} + \sum_{n_1+n_2=n+1} P_{n_1} P_{n_2} + \frac{dP_n}{dx} = 0$$

$$\log \frac{\Gamma\left(\frac{E}{\hbar} + \frac{1}{2}\right)}{\sqrt{2\pi}} + \dots \underset{\hbar \rightarrow 0}{\sim}$$

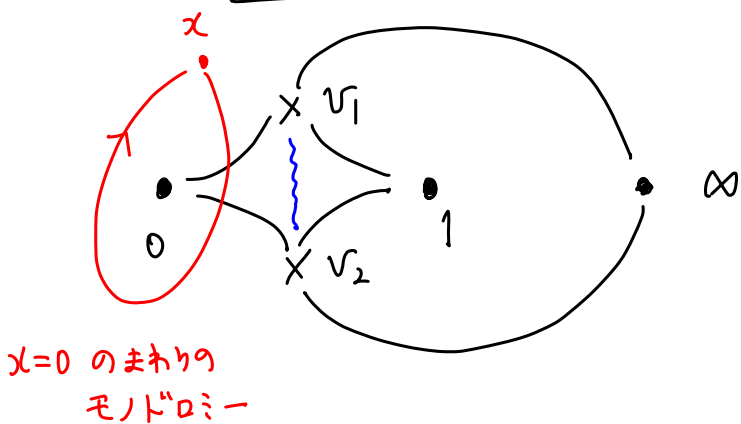
Stirling formula

$L = \hbar \frac{\partial}{\partial x} - \frac{x}{2}$ のような昇降演算子を使うと, $W_\beta(\hbar)$ について E を "j" したときの方程式が出来て、それが解くと Bernoulli 数が出て来る

例 $Q(x) = \frac{ax^2 + bx + c}{x^2(x-1)^2}$ ($a, b, c \in \mathbb{C}$). \leftrightarrow Gauß の超幾何方程式

$\theta = 0$ の Stokes 線

x 平面

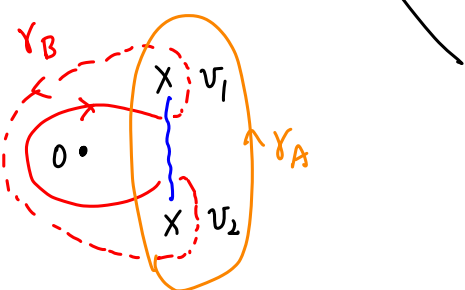
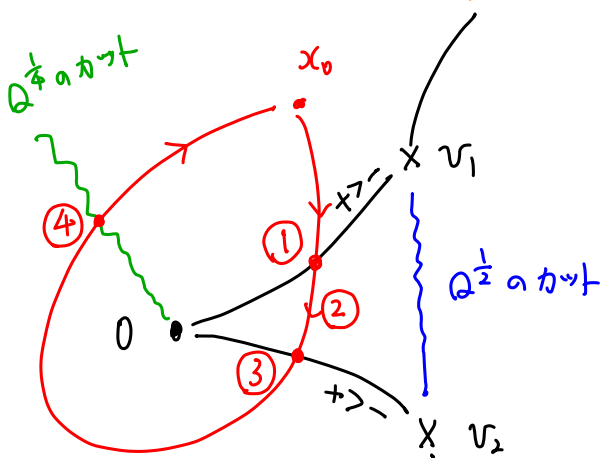


Ψ_\pm : $x=v_1$ で正规化された WKB 解を用いて計算する。

$$\Psi_\pm = \frac{1}{\sqrt{P_{odd}}} \exp \left(\pm \int_{v_1}^x P_{odd} dx \right), \quad \sqrt{P_{odd}} = \frac{\hbar^{1/2}}{Q(x)^{1/4}} (1 + \tilde{O}(\hbar))$$

$\xrightarrow{x \approx v_1 \approx 1}$ 倍。

$Q(x)^{1/4}$ の分歧を決める新たな cut が必要。

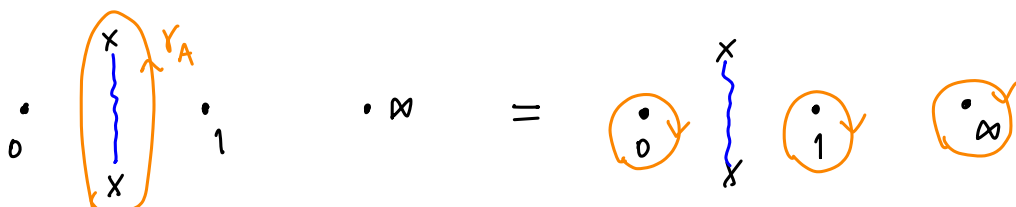


ゆえにモードロミー行列は

$$M = D_4 S_3 D_2 S_1.$$

モードロミー行列 M の固有値は $\exp\left(\pm \frac{1}{2}(V_{r_A} + V_{r_B}) - \pi i\right)$,

そして Voros 係数は



$$V_{r_A} = -2\pi i \sum_{p=0,1,\infty} \operatorname{Res}_{x=p} P_{odd} dx$$

$x=p$ における特徴指數

$$\rho(\rho+1) - \frac{A}{t^2} = 0$$

$A = \frac{A}{x^2} + \dots$

こんな感じで

$$V_{r_A} + V_{r_B} = 2 \operatorname{Res}_{x=0} P_{odd} dx = 2 (x=0 における特徴指數),$$

モードロミー行列
特徴指數で
書ける。

超幾何の $W_\beta(t)$ $(Aoki, \dots)$ $\xrightarrow{\beta}$

$$W_\beta = \sum \frac{(2^{2n-1}-1)B_{2n}}{2n(2n-1)} \frac{t^{2n-1}}{(\alpha-\beta)^{2n-1}} + \sum \frac{t^{2n-1}}{(\beta-j)^{2n-1}} + \text{有限級数.}$$

たゞま Contiguity relation のような差分的特徴指數の関係についても述べる。

$\operatorname{Re} \int_{v_1}^x \sqrt{Q} dx > 0$ (x near 0) と仮定してみる.

$$\textcircled{1} \quad \begin{bmatrix} 1 & 0 \\ 0 & 1 \end{bmatrix} = S_1 : \text{Voros の公式}$$

\textcircled{2} 正規化のとりかえ

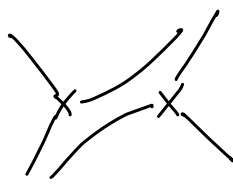
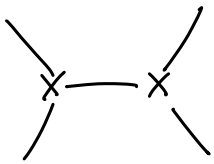
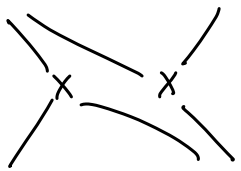
$$\begin{bmatrix} \exp\left(\frac{1}{2}V_{r_A}\right) & 0 \\ 0 & \exp\left(-\frac{1}{2}V_{r_A}\right) \end{bmatrix} = D_2$$

$$\textcircled{3} \quad \begin{bmatrix} 1 & 0 \\ 0 & 1 \end{bmatrix} = S_3 : \text{Voros の公式} \quad \underbrace{\frac{1}{Q^{1/4}} \text{の分母}}_{\text{ズレ}}$$

$$\textcircled{4} \quad \begin{bmatrix} \exp\left(\frac{1}{2}V_{r_B}\right) & 0 \\ 0 & \exp\left(-\frac{1}{2}V_{r_B}\right) \end{bmatrix} \times e^{\frac{1}{2}(-2\pi i)} = D_4$$

$$Q(x) \sim \frac{0}{x^2} \Rightarrow \frac{1}{Q^{1/4}} \sim 0 x^{\frac{1}{2}}$$

明日



2-12

こんな場合を考えるとクラスターの構造が見えてくる。